



อภิปรายผลการวิจัย

Langerhans cell : Ag presenting cell ซึ่งได้ทำการศึกษา นี้มีความสำคัญในความรู้เกี่ยวกับระบบภูมิคุ้มกันมาก ซึ่งไม่เพียงแต่ afferent limb เท่านั้น ยังมีส่วนเกี่ยวข้องกับ efferent limb ด้วยดังการศึกษาของ Silberberg(1976) พบว่ามี lymphocyte เคลื่อนมาชิดกับ LC และจะมีการทala ของ LC ตามมา การศึกษา LC จะเป็นต้องอาศัยความรู้ทางด้าน immunohistochemistry มาช่วย โดยวิธีที่นิยมใช้กันมากและสามารถหาได้ไม่ยากนัก คือ adenosine triphosphatase โดยเริ่มแรกนั้นการย้อมเซลล์โดยวิธีนี้ใช้ตรวจหาท่อน้ำดี ซึ่งใช้ ATP เป็น substrate โดยวิธี ATPase นี้พบว่าได้ผลดีกว่าการย้อมด้วย enzyme histochemistry ที่ผ่านมา (Wachstein, 1957) ปัจจัยที่มีผลต่อ enzyme histochemistry ทั่วไปขึ้นกับ temperature, pH, concentration ของ enzyme substrate, inhibitors และ activators ที่เหมาะสม ดังนั้นการย้อมเซลล์ LC เป็นสีน้ำตาลได้เกิดเนื่องจาก ATPase activity บน LC ทำให้เกิดมีการ release orthophosphate จาก ATP ซึ่งใช้เป็น substrate และ orthophosphate จะรวมกับ lead ions (ซึ่งได้จาก lead nitrate solution) เกิดเป็น lead phosphate precipitate ซึ่งยังไม่มีสีต้องผ่านการทับถักริริยาด้วย ammonium sulfide เกิดเป็น lead sulfide ขึ้นจึงเห็นเป็นสีน้ำตาลเข้ม โดยมี Mg ion จาก magnesium sulfide solution เป็น activator

ATPase technique เริ่มมีการนำมาใช้ตรวจหา LC โดย Wolff (1967) แม้ว่าจะมีผู้ค้นว่า ATPase ยังพบในเซลล์อื่นๆ เช่น KC หรือ MC ด้วย (Zelickson, 1968) แต่เมื่อหาด้วยวิธีการถูกต้องและตรวจสอบโดย EM แล้วพบว่ามี LC เท่านั้นที่เกิดปฏิกิริยาขึ้น(Wolff, 1972) หน้าที่ของ enzyme ซึ่งอยู่บน plasma membrane ของ LC นี้ยังไม่ทราบแน่นอน แต่อาจเกี่ยวข้องกับการ transport สารหรือการเคลื่อนที่ของเซลล์ ในการศึกษาเพาะเลี้ยงเนื้อเยื่อ LC ที่อุณหภูมิ 37°C. จะสามารถตรวจพบ enzyme นี้ได้นาน 2 วัน และที่อุณหภูมิ 4°C. จะตรวจพบได้นานถึง 26 วัน

ATPase technique นี้สามารถติดสี LC ได้ทั้งใน section และ epidermal sheet การแยก epidermis ออกจาก connective tissue นี้แต่เดิมใช้ NaBr แต่หากทำให้มี epidermal damage ได้และใช้เวลาในการ

แยกชั้นนานกว่า จึงได้มีการนำ EDTA มาใช้ซึ่งได้ผลดีและใช้เวลาอ้อยกว่า (Mackenzie and Squier, 1975; Juhlin and Shelley, 1977) EDTA นี้จะทำให้ epidermis แยกจาก connective tissue ที่ lamina lucida โดย lamina densa ยังคงติดอยู่กับ connective tissue และ desmosome structure ไม่เปลี่ยนแปลง

LC พบรในเยื่อบุช่องปากครั้งแรกโดย Schroeder และ Treilade ในปีค.ศ.1966 และต่อมาที่มีการใช้ gold chloride ตรวจหา LC ที่เยื่อบุเหงือก พบรลักษณะของ LC เมื่อตอนผิวนัง (Waterhouse and Squier, 1967)

การศึกษาปริมาณ LC ในบริเวณที่ต่างกันของหนูในระยะแรก Wolff และ Winklemann (1967b) ได้ทำการวิจัยไว้พบว่าไม่แตกต่างกัน แต่ในการศึกษาต่อมานพบว่ามีความหนาแน่นแตกต่างกันไปในแต่ละบริเวณ โดยพบที่บริเวณหู หลัง อุ้งเท้า และเยื่อบุช่องปากประมาณ $600-1500$ เชล./ mm^2 แต่พบเพียง 110 เชล./ mm^2 ที่หางและไม่พบ LC เลยที่บริเวณกระจากตา (Bergstresser, 1980) และในหนูพบว่าบริเวณ anterior buccal mucosa = 160 , posterior buccal mucosa = 640 , palate = 430 และ tongue = 340 เชล./ mm^2 ซึ่งทำให้การตอบสนองต่อ Ag แต่ละบริเวณแตกต่างกันไปด้วย (Ahlfors, 1985)

จากการศึกษาในครั้งนี้พบว่าปริมาณ LC ในเยื่อบุช่องปากมีปริมาณตั้งแต่ $172-787$ เชล./ mm^2 โดยผู้วิจัยเลือกทำการศึกษา 4 บริเวณที่พบว่าราค่าเฉลี่ยพนับว่า buccal mucosa = 587.69 ± 110.85 (mean \pm S.D.) upper labial mucosa 591.99 ± 108.40 lower labial mucosa 591.00 ± 110.80 และ palate 308.72 ± 61.15 เชล./ mm^2 ซึ่งเมื่อนำมาเปรียบเทียบทางสถิติโดยใช้ one-way analysis of variance ที่ p-value = 0.05 แล้วพบว่า palate มี LC แตกต่างไปจากบริเวณอื่นอย่างมีนัยสำคัญทางสถิติ แม้ว่าในการตรวจหาเชลโดย ATPase จะมีข้อจำกัด เนื่องจากบางบริเวณจะเป็นหลุมท่าให้เห็น LC ไม่ชัดก็ตาม แต่หากจะอธิบายว่าความหนาหรือความแข็งมีผลต่อจำนวนเชลแล้วก็ไม่น่าจะเป็นไปได้ เนื่องจากผลจากการนับจำนวนเชลต่อความยาว epidermis ที่ buccal mucosa = 32.58 ± 13.17 upper labial mucosa 35.81 ± 14.31 lower labial mucosa 34.30 ± 17.49 และ palate 19.93 ± 6.57 เชล./ mm^2 ก็ไปด้วยกันกับผลจำนวน LC ต่อพื้นที่ตั้งก่อรากข้างต้น เมื่อเปรียบเทียบกับผลที่มีผู้วิจัยได้ทำแล้วรายละเอียดดังตารางที่ 16,17 พบรว่า LC ของเยื่อบุช่องปาก = 890 เชล./ mm^2 ซึ่งเท่ากับผิวนังทั่วไป (Ahlfors, 1985) และจากการศึกษาของ Daniels

ตารางที่ 16 จำนวน LC/mm² ในเยื่อบุช่องปากข้อมโดย ATPase จากการศึกษานี้เปรียบเทียบกับการศึกษาของผู้อื่น

Site	Daniels (1984)	Chen (1985)	Ahlfors (1985)	การศึกษานี้
Palate	220(100-330)	-	-	308.72 ± 61.15
Buccal mucosa	380(130-650)	567 ± 42.94	890	587.69 ± 110.85
Upper labial mucosa	520(390-670)	-	-	591.99 ± 108.40
Lower labial mucosa		-	-	591.00 ± 10.80

ตารางที่ 17 จำนวน LC/mm. ในเยื่อบุช่องปากข้อมโดย OKT6 จากการศึกษานี้เปรียบเทียบกับการศึกษาของผู้อื่น

Site	Sloborg (1984)	Cruchley (1989)	Riebel (1985)	การศึกษานี้
Palate	-	17.6 ± 5.3	27.7	19.93 ± 6.57
Buccal mucosa	39.6 ± 9.3	25.2 ± 5.8	28.6	32.58 ± 13.17
Upper labial mucosa	-		-	35.81 ± 14.31
Lower labial mucosa	-	22.4 ± 5.1	-	34.30 ± 17.49

(1984) โดยใช้ ATPase 8 รายพบว่าบริเวณเยื่อบุกระพุ้งแก้ม = 380(130-650) เชล/มม² hard palate = 220(100-330) เชล/มม² และได้ทำการศึกษาบริเวณ soft palate, ventral tongue, dorsal tongue, floor of mouth และ gingiva ด้วย สรุบผลว่าที่บริเวณ keratinized area พน LC น้อยกว่าบริเวณ non-keratinized area ซึ่งก็พบในการศึกษานี้เช่นกันคือ

palate ซึ่งเป็น keratinized area มี LC น้อยกว่าบริเวณเยื่อบุอ่อนอย่างมีนัยสำคัญทางสถิติ ซึ่งต่างจากการศึกษาใน rhesus monkey พบว่า LC ที่บริเวณ keratinized มากกว่า non-keratinized area (Hutchens, 1971) ส่วนผลจากการนับต่อความยาว epidermis นั้น เมื่อเปรียบเทียบกับข้อมูลของผู้วิจัยอื่นโดยใช้ CD1 คือพับที่ buccal mucosa = 25.2, lip = 22.4 และ hard palate = 17.6 เซล/มม. ถ้าพับว่าบริเวณ hard palate ต่ำกว่า อย่างมีนัยสำคัญทางสถิติ (Cruchley, 1989) ส่วนการศึกษาของ Sloberg (1984) พับ healthy oral mucosa = 39.6 ± 9.3 เซล/มม. จากข้อมูลที่ได้จะเห็นว่าเมื่อเปรียบเทียบกับของ Cruchley และ Daniels แล้วค่าที่คำนวณได้จากการศึกษานี้มากกว่าค่าของผู้วิจัยทั้ง 2 ท่าน โดยใช้วิธีการย้อมเดียวกัน ในผู้ป่วยที่เสียชีวิตเหมือนกัน และไม่มี underlying autoimmune disease หรือได้รับ immunosuppressive drugs มา ก่อน死 แล้วเดียวกัน แต่เนื่องจากอายุของ Cadaver ที่นานั้นเนื้อมาศึกษานั้นต่างกันมาก โดยอายุเฉลี่ยของ Cruchley = 71.5 ปี (19-88 ปี) เสียชีวิตจาก CVA หรือ myocardial infarction และของ Daniels (1984) = 72 ปี (60-83 ปี) ซึ่งมากกว่าการศึกษานี้มาก ทำให้จำนวนเซลโดยเฉลี่ยต่างกันได้ แต่ของ Sloberg ซึ่งไม่ได้ระบุอายุไว้ให้ ผลใกล้เคียงกัน แม้ว่าการศึกษาครั้งนี้เมื่อแบ่งผู้ป่วยเป็น 2 กลุ่มคือ อายุ <30 ปี และ >50 ปีแล้วผลของค่าเฉลี่ยไม่แตกต่างกัน ผู้ป่วยที่นำมาศึกษาครั้งนี้เสียชีวิตจากอุบัติเหตุ มีอายุเฉลี่ยเพียง 37 ปี และไม่มีผู้ที่มีอายุเกิน 70 ปีเลยและเข้าใจว่าในผู้สูงอายุจำนวน LC อาจลดลงเป็นผลให้กลไกของระบบภูมิคุ้มกันเปลี่ยนแปลงไป ดังนั้นควรจะได้มีการศึกษาในผู้ป่วยที่สูงอายุมากๆ ในการครั้งต่อไป

ความก้าวหน้าทางวิชาการในการนำ monoclonal antibodies immunohistochemistry มาใช้ในการตรวจหาเซลและ membrane antigen ช่วยให้ความรู้เรื่อง cell mediated immune reaction ดีขึ้น monoclonal antibody OKT6 หรือ CD1 นี้เริ่มแรกใช้ในการตรวจหา cortical thymocyte แต่ต่อมามพน CD1 ใน LC ด้วยการสักน้ำเงิน EM ว่าพบ electron dense peroxidase reaction product of diamino-benzidine ที่ surface ของเซลตั้งกล่าว (Murphy, 1981) จึงได้มีผู้นำเอาคุณสมบัตินี้มาใช้ตรวจหา epidermal LC ก้อนอย่างแพร่หลาย ซึ่งแม้ว่า LC จะมี surface receptor สำหรับ HLA class II antigen คือ HLADR, HLADQ, HLADP ด้วยก็ตาม (Walsh, 1986; Cruchley, 1989) แต่พบในจำนวนน้อยกว่า OKT6 และจะเพิ่มขึ้นต่อเมื่อมีโรคหรือความผิดปกติของภูมิคุ้มกัน และเห็น morphology ไม่ชัดเจนเท่ากับ OKT6 (Sloberg, 1984)

ภาวะการเกิด hypersensitivity ทั่วไปทางผิวนั้นอาศัย LC เป็นตัว presenting Ag ที่สำคัญ แม้ว่าจะมีผู้กล่าวว่าถ้าหาก hapten ทางปากหรือผ่านเข้าเยื่อบุคลาสแล้วเกิด tolerance ก็ตาม แต่ Ahlfors ได้อ้างถึง Lowney ว่าถ้าหาก DNCB ที่เยื่อบุช่องปากแล้วมีผู้บ่วยบางรายเกิด sensitivity ได้ ไม่ใช่มีแต่เพียง tolerance เท่านั้น ดังนั้น LC ของเยื่อบุช่องปากนี้อาจเป็นจุดสำคัญที่เป็นตัว present antigen ทำให้เกิด contact hypersensitivity ได้

การศึกษาครั้งนี้ใช้ specimen จาก cadaver เนื้องจากเป็นการช่วยให้ไม่ต้องตัดจากเยื่อบุช่องปากผู้ป่วยหรืออาสาสมัครโดยไม่จำเป็น การตัดขึ้นเนื้อท้าหลังจากผู้ป่วยเสียชีวิตไม่นาน คือ 2-19 ชม. เฉลี่ยประมาณ 10 ชม. ไม่มีผลทำให้ LC เปลี่ยนแปลงไป ซึ่งได้มีผู้ท้าวิจัยแล้วว่า เมื่อทำการเบรี่ยบเทียน LC ระหว่างผู้ที่เสียชีวิตไม่เกิน 24 ชม. และผู้ที่ยังมีชีวิตอยู่ พบว่าไม่แตกต่างกันทั้งในด้านรูปร่างและจำนวนเซล (Daniels, 1984 and Cruchley, 1989) และ Daniels ยังพบว่าไม่มีความแตกต่างกันระหว่างกลุ่มที่มีประวัติสูบบุหรี่และไม่ได้สูบหรือความแตกต่างกันระหว่างเพศหญิงและชาย

รูปร่างลักษณะโดยทั่วไปของเซลสามารถเห็นได้ชัดเจนจาก section ที่ข้อมัดด้วย monoclonal antibody OKT6 โดยจากการศึกษาครั้งนี้พบว่าเซลที่มี dendrite ติดสีน้ำตาล มีความยาวของ dendrite สั้นบ้างยาวบ้าง พบกระจายทั่วไปตลอดความยาวของ epidermis ไม่พบบริเวณที่ปราศจาก LC ซึ่งเป็นเช่นเดียวกับผู้ท้าวิจัยหลายท่านได้บรรยายไว้ แต่ต่างจาก Daniels ซึ่งพบว่าบางบริเวณไม่มี LC ใน การวิจัยครั้งนี้พบว่าบริเวณ dermis นั้นไม่พบ LC หรือพบน้อยมาก และไม่พบ LC บริเวณ salivary gland เลย ลักษณะ dendrite ที่สั้นบ้างยาวบ้างนั้นไม่ขึ้นกับตำแหน่งของชั้นเนื้อที่ตัดมา แต่เป็นลักษณะเดียวกันในแต่ละชั้น เนื้อหรือแต่ละบุคคลซึ่ง Sloberg ก็ได้บรรยายไว้เช่นกัน dendrite กระจายออกจากเซลไปทุกทิศทางในลักษณะที่ชี้ขึ้นสู่ด้านบนดัง Cruchley ได้บรรยายไว้ในบางชั้นเนื้อ แต่อย่างไรก็ตาม Cruchley ให้เหตุผลว่าผู้ป่วยเหล่านั้นมีอายุมาก ไส้พันบลลอม และเป็นชั้นเนื้อจากบริเวณ hard palate ดังนั้นอาจมีผลทำให้ LC หน้าที่และเปลี่ยนแปลงรูปร่างโดยส่ง dendrite ที่ surface ด้านบนก็ได้

การกระจายตัวของ LC ในแต่ละบริเวณนั้นแตกต่างกันโดย buccal, upper labial และ lower labial mucosa นั้นพบมากบริเวณ basal และ suprabasal layer และพบมากบริเวณหน่อ dermal papilla ซึ่งได้มีผู้ท้าวิจัยไว้แล้วแต่ไม่ทราบเหตุผลแน่นอน เพียงแต่คิดว่าเป็นบริเวณที่ epidermis อุดมไปด้วย connective tissue ที่สุด ดังนั้นจึงต้องมี LC มาตักไว้จำนวนมากกว่า

บริเวณอื่น (Reibel, 1985) บริเวณ palate พบร LC มากบริเวณ mid-stratum malpighii (Hutchens, 1971; Cruchley, 1989)

LC สามารถสร้าง IL-1 ซึ่งเป็น soluble factor ที่ส่งเสริมให้มีการแบ่งตัวของ lymphocyte และทำให้เกิด localized stimulation of immune response โรคของ oral mucosa ที่ได้มีผู้ทาวิจัยไปแล้วและพบว่า LC มีการเปลี่ยนแปลงส่วนใหญ่เกี่ยวข้องกับ inflammatory disease ซึ่งพบว่า มี LC จำนวนสูงขึ้นและ express HLA-DR มากขึ้น oral lichen planus ซึ่งมี lymphocyte infiltration จำนวนมากนั้นก็พบว่ามี HLA-DR เพิ่มขึ้น เช่นเดียวกัน แสดงว่าโรคนี้น่าจะเกี่ยวข้องกับ cell mediated immunity และเมื่อได้รับการรักษาด้วยยาทา tretinoin เป็นเวลา 1-2 เดือน พบร LC ลดลง 29-80% (Sloberg, 1984) ส่วนโรคที่พบว่ามีการลดจำนวนลงหรือไม่พบ LC ในเยื่อบุช่องปาก ได้แก่ oral hairy leucoplakia หรือ candidiasis ซึ่งเป็นกลุ่มอาการโรคซึ่งพบในผู้บ่วย HIV infection ก็มีความสัมพันธ์ระหว่างจำนวนเซลล์ลดลงและความรุนแรงของผื่น แสดงว่า oral mucosa LC มีความเกี่ยวข้องกับภูมิคุ้มกัน การได้รับ cytokine จากเซลล์เยื่อบุสามารถ modulate การ express CD4, HLA-DR และ DQ Ag ได้ โดยเมื่อ human gingival LC ได้รับ interferon-gamma ทำให้มีการ express CD4 มากขึ้นและเมื่อได้รับ PGE2 ทำให้มีการลดลงของ CD4 Ag หรือเมื่อเกิด traumatic ulceration ขึ้น ทำให้ T6, DR สูงขึ้นในช่วง inflammation และลดลงในช่วง lesional phase หลังจากนั้นจะมี repopulation ของ LC และ regenerate epithelium จนสมบูรณ์ใน 10 วันหลังจากตรวจพบ negative LC expression ใน ulcer (Fraissinette, 1989) ส่วน oral lesion ของ lupus erythematosus ที่เกี่ยวข้องกับ LC เท่าที่ผู้วิจัยทราบยังไม่มีผู้ได้รายงานไว้ ซึ่งหากมีการเปลี่ยนแปลงเช่นเดียวกับ cutaneous LE ที่มี LC ลดลง (Sontheimer, 1982) จะช่วยให้แยกโรคนี้ออกจาก oral LP ได้ ซึ่งควรจะได้มีการศึกษาต่อไป

LC ของผิวนั้นทั่วไปจากการศึกษานี้พบว่ามีปริมาณ 199.09-649.12 เชล./ mm^2 หรือโดยเฉลี่ยประมาณ 574.74 เชล./ mm^2 โดย ATPase technique และ 7.93-34.84 เชล./ mm . หรือโดยเฉลี่ย 27.51 เชล./ mm . (ต่อความยาว epidermis) โดย OKT6 monoclonal antibody บริเวณที่มี LC ต่างจากที่อ่อนอย่างมีนัยสำคัญทางสถิติ คือ palm เมื่อพิจารณาผลควบคู่ไปกับผลของ oral mucosa แล้วพบว่าเป็นบริเวณที่มี keratin หนา เช่นเดียวกัน ซึ่งไม่ทราบเหตุผลที่แน่นอน แต่เมื่อกล่าวว่าพบ LC ครั้งแรกใน embryo เมื่อ ประมาณสัปดาห์ที่ 14-15 ใกล้เคียงกับเวลาที่เริ่มมีการพับ para- หรือ

ortho-keratinization ของ epidermal cells ตั้งนี้ LC จึงอาจเกี่ยวข้องกับการ keratinization ของ KC นอกจากนี้ยังเชื่อว่า LC มีการสร้าง inhibitor of epidermal cell(chalones) ด้วยท่าให้มี inverse relationship ระหว่างจำนวน LC และ rate of cell proliferation ใน psoriasis แต่อย่างไรก็ตามในโรค ichthyosis กลับไม่พบว่ามีการเปลี่ยนแปลงของ LC หรืออีกความเชื่อหนึ่งคือ LC มี hydrolytic enzyme ซึ่งส่งผลให้มีการ degradation ของ keratinocyte แต่ก็มีผู้คัดค้าน เพราะในสัตว์ทดลองบริเวณที่ไม่พบ LC ก็พบ hydrolytic enzymes ได้เช่นกัน (Schweizer, 1979)

เมื่อเปรียบเทียบค่าของ LC กับผลงานที่ได้มีผู้วิจัยแล้วตั้งตารางที่ 18,19 หรือรายละเอียดดังนี้

- Lisi (1973) ศึกษาใน volunteer 15 คน อายุ 27-71 ปี โดยวิธี ATPase พบ LC โดยเฉลี่ย 696 ± 70.5 เชล/มม² โดยพบที่ forearm 633 ± 94.4 (n = 5), arm 685 (n = 1), back 724 ± 49.0 (n = 11), leg (front surface) 701 ± 82.7 (n = 6) และ leg (back surface) 692 (n = 2)

- Brown et al.(1967) ศึกษาผิวนังบกติของผู้ป่วยที่เป็น vitiligo จำนวน 10 คน อายุ 30-66 ปี พบ LC 464-800 หรือโดยเฉลี่ยประมาณ 697 เชล/มม²

- Friedmann (1981) ศึกษาผิวนังจาก volunteer 6 คน บริเวณ anterior upper arm พบ LC 730 ± 60 เชล/มม²

- Berman et al(1983) ศึกษาจากผิวนังบกติของ cadaver และ volunteer อายุ 26-61 ปี โดยใช้ OKT6 พบว่าบริเวณเหล่านี้มี LC $411-489$ เชล/มม² ไม่มีความแตกต่างกันอย่างมีนัยสำคัญ คือ head and neck, chest, back, upper and lower extremities และ buttock บริเวณที่พบ LC น้อยมาก คือ genitalia 298 เชล/มม² และ sole = 58 เชล/มม² และไม่พบว่ามีความแตกต่างระหว่างผู้ป่วยทั่วไปและผู้ป่วยที่เสียชีวิตแล้ว หรือเชื้อชาติ Caucasians และ Hispanics หรือเพศหญิงและชาย

- Theirs et al (1984) พบ LC density ที่ forearm = $1014/\text{mm}^2$ buttock $991/\text{mm}^2$

- Chen et al(1985) ศึกษาผู้ป่วยผิวนังบกติอายุ 18-60 ปี โดยใช้วิธี ATPase พบ LC สูงสุดบริเวณ face and neck 976 ± 30.93 (n = 14) ผลใกล้เคียงกันที่บริเวณ scalp 693 ± 69.56 (n = 8) และ trunk 740 ± 28.97 และ extremities 640 ± 40.5 (n = 7) และพbn้อยที่บริเวณ buccal mucosa 567 ± 42.94 (n = 10)

ตารางที่ 18 จำนวน LC/mm² บริเวณผิวหนังข้อมือโดย ATPase จากการศึกษานี้เปรียบเทียบกับการศึกษาของผู้อื่น

Site	Brown (1967)	Lisi (1973)	Berman (1983)	Chen (1985)	การศึกษานี้
Face and neck	-	-	489±27	976±30.93	610.43±115.95
Chest	-	-	466±22	740±28.97	637.39±106.34
Outer forearm					623.67±99.58
	697	633±94.4	458±25	640±40.95	
Inner forearm					649.12±183.94
Palm	-	-	-	189±19.15	199.09±60.15

ตารางที่ 19 จำนวน LC/mm. บริเวณผิวหนังข้อมือโดย OKT6 จากการศึกษานี้เปรียบเทียบกับการศึกษาของผู้อื่น

Site	Ashworth (1986)	การศึกษานี้
Face and neck	34	27.30 ± 7.53
Chest	32	34.84 ± 18.29
Outer forearm		30.70 ± 12.05
	33	
Inner forearm		33.64 ± 11.31
Palm	18	7.93 ± 4.81

Sacrococcyx 267 ± 56.14 (n = 8) และ palm and sole 189 ± 19.15 (n = 19) และไม่พบที่บริเวณ cornea

- Ashworth et al (1986) ศึกษาโดยใช้ CD1 (OKT6) โดย vertical skin ไม่พบว่ามีความแตกต่างกันที่บริเวณ face and neck, trunk, upper and lower extremities แต่ palm and sole ให้ผลน้อยกว่า

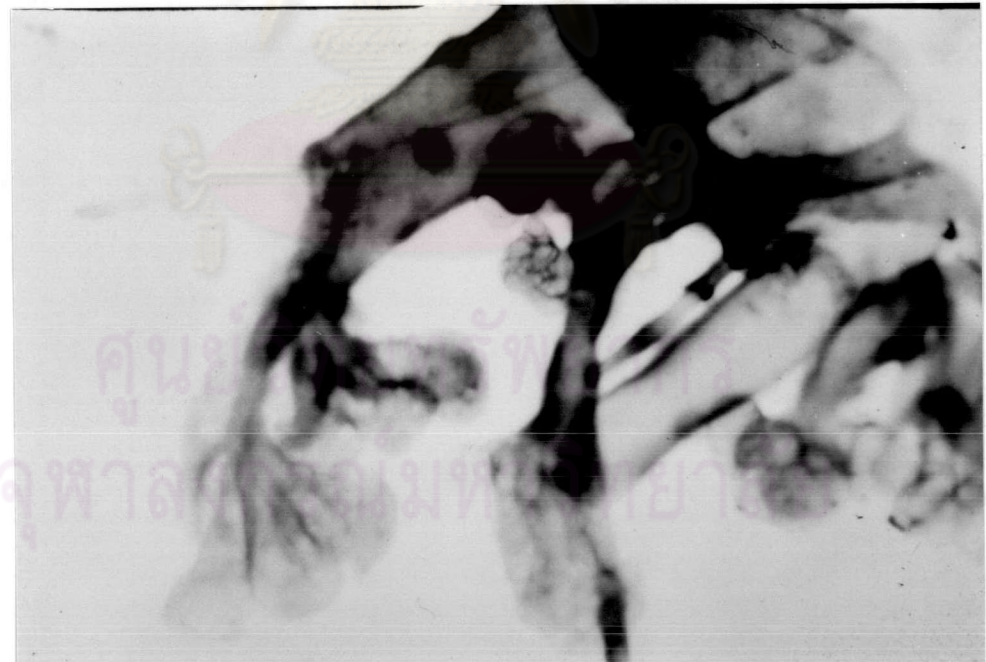
จากข้อมูลดังกล่าวพบว่าข้อมูลที่ได้จากการศึกษานี้ได้ผลไกล์ เคียงกับข้อมูลที่ได้มีผู้วิจัยอื่นได้บรรยายไว้เป็นล้วนๆ โดยบริเวณที่พบว่าต่างไปอย่างเห็นได้ชัดเจน คือ palm and sole sacrococcyx และ genitalia ส่วน cornea ไม่พบ LC เลย จากการศึกษาครั้งนี้พบว่า LC ของผิวหนังระหว่างผู้ป่วย อายุ < 30 ปี และ > 50 ปี ให้ผลไกล์ เคียงกัน แต่จากการศึกษาของ Gilchrest et al (1982) พบว่า cross-section ของผู้ป่วยอายุ 62-86 ปี (n=7) มี LC 5.8/3 mm. และผู้ป่วยอายุ 22-26 ปี (n=4) มี LC = 10.0/3mm. ซึ่งต่างกันอย่างชัดเจนแต่ค่าของ LC ต่างจากผู้วิจัยอื่นมาก และจำนวนตัวอย่างน้อยมากและ Theirs, Gilchrest ยังพบว่า ผู้ป่วยอายุมากที่มี chronic actinic damage จะมี LC ลดลง ตั้งนั้นการศึกษาครั้งต่อไป ควรจะมีการศึกษาในผู้ป่วยอายุมากและมี sun damage ในประเทศไทยว่ามี LC เป็นอย่างไร

การกระจายตัวของ LC ในผิวหนังทั่วไปนี้พบลักษณะที่ต่างไปจากเยื่อบุช่องปาก คือพบลักษณะที่เป็น reticulate pattern และมี LC รอบ pilosebaceous apparatus โดยลักษณะ reticulate pattern นี้ไม่พบว่ามีผู้บรรยายไว้ในเยื่อบุช่องปากปกติเลย แต่สามารถพบได้ใน oral LP (Slobberg, 1984) ผู้วิจัยคิดว่าอาจเป็นเหตุผลหนึ่งที่เกี่ยวข้องกับการเกิด tolerance เมื่อได้รับ Ag ทาง oral mucosa โดยการ present Ag อาจต้องอาศัยการเรียงตัวเป็น reticulate pattern แต่ยังไม่มีหลักฐานสนับสนุนต้องทำการศึกษาต่อไป

จุฬาลงกรณ์มหาวิทยาลัย



รูปที่ 31 Face จากผู้ป่วยรายที่ 20 ย้อมด้วย ATPase แสดงให้เห็น pilosebaceus structure และ sweat duct ซึ่ง interfere ต่อการ identify LC (x 40)



รูปที่ 32 pilosebaceus structure ซึ่งแยกออกมากได้โดยการแช่ชี้นเนื้อใน EDTA ตลอดคืน